

INF 2310

Segmentering ved terskling

Kap 10.3

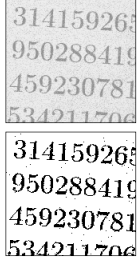
- Global terskling
- Generelle histogramfordelinger og klassifikasjonsfeil
- To populære tersklingsalgoritmer
- Bruken av kanter, og effekten av "støy" og glatting
- Lokal terskling

Disse notatene er basert på F. Albrechtsens segmenteringsnotater fra 2016. Originalnotatene fra 2016 inneholder mange interessante detaljer, og de anses som kursorisk pensum!

2020.02.19 INF 2310 1

Hva er segmentering?

- Segmentering er en prosess som deler opp bildet i meningsfulle regioner.
- Segmentering er et av de viktigste elementene i et komplett bildeanalyse-system.
- I segmentering får vi fram regioner og objekter som senere skal beskrives og gjenkjennes.
- I det enkleste tilfellet har vi bare to typer regioner:
 - Forgrunn
 - Bakgrunn




Eksempel:
finne symboler for OCR

2020.02.19 INF 2310 2

Segmenterings-problemer

- Problemet blir banalt hvis vi bare har en objekt-region, og denne er homogen.
- Men vi har som regel flere objekter i bildet.
- Objektene er sjelden helt like, selv om de er av samme type.
- Ofte har vi flere typer/klasser av objekter samtidig.
- Belysningen kan variere over bildet.
- Refleksjon, farge etc. kan variere over objekter i bildet.



Hva og hvor er objektet i dette bildet?

2020.02.19 INF 2310 3

To segmenterings-kategorier

- Vi skiller mellom to kategorier av metoder, basert på hhv. likhet og diskontinuitet mellom pikslene i bildet.

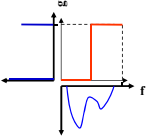
1. Ved terskling og region-basert segmentering får vi fram de pikslene som ligner hverandre. Dette gir alle pikslene i objektet.
2. Ved kant-basert segmentering finner vi basis-elementer i omrisset til objektene:
 - Kant-punkter, linje-punkter, hjørne-punkter..
 - I neste steg:
 - Tynner brede kanter
 - Lenker punktene sammen

2020.02.19 INF 2310 4

Dagens verktøy: Terskling

- Hvis vi har grunn til å anta at objektene f.eks. er lysere enn bakgrunnen, kan vi sette en terskel T og lage oss et binært ut-bilde $g(x,y)$ ved mappingen:

$$g(x,y) = \begin{cases} 0 & \text{hvis } f(x,y) \leq T \\ 1 & \text{hvis } f(x,y) > T \end{cases}$$



- Da har vi fått et ut-bilde $g(x,y)$ med bare to mulige verdier.
- Vi tolker nå piksler med $g(x,y)=1$ som objekt-piksler.
- Vi har gjort en global pikselvis *klassifikasjon* basert på pikselintensitet alene

2020.02.19 INF 2310 5

Terskling, eksempel

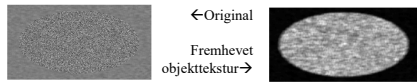
- Anta at et bilde har to intensitets-områder: forgrunn og bakgrunn.
- Histogrammet vil da vise to topper, gjerne med et "dalsøkk" mellom.
- Avhengig av hvor mye forgrunn vi har i forhold til bakgrunn, kan det hende vi ikke ser to topper.
- **Nøkkelsspørsmål: Hvor skal vi legge terskelen?**



2020.02.19 INF 2310 6

Tersking av egenskapsbilde

- Tersking er ofte noe som gjøres på et bilde hvor teksturegenskapene til objektene vi er interessert i har blitt fremhevet



Mer om dette i INF4300!

2020.02.19

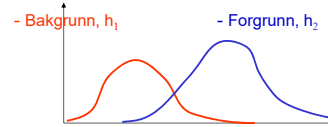
INF 2310

7

Pikselklassifikasjon basert på gråtone

Dagens viktigste «slide»!

- Anta at vi har histogrammene til bakgrunn og forgrunn hver for seg, henholdsvis h_1 og h_2
 - Histogrammet for hele bildet er da $h=h_1+h_2$
- La oss så klassifisere pikslene *kun basert på gråtone*
 - For hver gråtone må vi bestemme om en slik piksel skal klassifiseres til forgrunn eller bakgrunn
 - Minimerer totalt antall feilklassifiserte piksler om vi velger "forgrunn" for en intensitet t om $h_2(t) > h_1(t)$ (**Hvorfor?!**)
 - Da vil antall feilklassifiserte piksler være $\sum_{t=0}^{255} \min\{h_1(t), h_2(t)\}$



Hadde vi hatt h_1 og h_2 , ville altså en "optimal" klassifikator vært trivielt tilgjengelig!

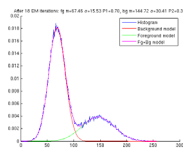
2020.02.19

INF 2310

8

Mulig fremgangsmåte: Finn h_1 og h_2

- Har vi h_1 og h_2 har vi altså alt vi trenger
- En mulig fremgangsmåte kan da være å anta enkle fordelinger for h_1 og h_2 , og å finne de parametrene som gir modellhistogrammer som til sammen tilnærmer h best mulig
- Eksempelvis, anta to Gauss-fordelinger og tilpass:



Summen av de to Gauss-kurvene passer rimelig godt til det observerte histogrammet (blå linje)

Piksler med intensitet hvor rødt > blått blir klassifisert til bakgrunn

En populær algoritme for slik tilpassning kalles expectation-maximization (EM) (Ikke pensem i dette kurset!)

- Vi skal se på en enklere variant hvor vi tilpasser to likeformede Gauss-fordelinger og kun endre middelveidene (Riddler & Calvarids metode og Otsus metode)

2020.02.19

INF 2310

9

Noen begreper relatert til histogrammer

- La $p_1(i)$ og $p_2(i)$ være **normaliserte** bakgrunns- og forgrunns-histogrammer
- La F og B være **a priori sannsynlighet** for bakgrunn og forgrunn ($B+F=1$)
- Det normaliserte histogrammet til bildet kan da skrives

$$p(i) = B \cdot p_1(i) + F \cdot p_2(i)$$
- Vi har selvfølgelig $h = (NM)p$, $h_1 = (NM)Bp_1$ og $h_2 = (NM)Fp_2$ der NM er antall piksler i bildet

Merk: På noen av notatene er $f(i)$ normalisert forgrunns-histogram, og $b(i)$ normalisert bakgrunns-histogram

2020.02.19

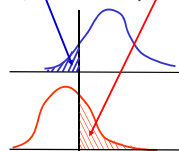
INF 2310

10

Klassifikasjonsfeil ved tersking

- Andelen feilklassifiserte piksler:
 - Andelen forgrunns-piksler klassifisert som bakgrunns-piksler pluss andelen bakgrunns-piksler klassifisert som forgrunn
- For en gitt terskel t :

$$E(t) = F \int_{-\infty}^t p_2(z) dz + B \int_t^{\infty} p_1(z) dz$$



(Benytter ofte kontinuerlige variable, da våre histogrammodeller ofte er definert for slike, jf. normalfordelingen)

2020.02.19

INF 2310

11

Finn den T som minimerer feilen

$$E(t) = F \int_{-\infty}^t p_2(z) dz + B \int_t^{\infty} p_1(z) dz$$

- $E(t)$ vil alltid ha et minimum der kurvene for forgrunns- og bakgrunns-histogrammer krysser hverandre (hvorfor?)
- Kan også sette den deriverte lik 0 og vi får:

$$\frac{dE(t)}{dt} = 0 \Rightarrow F \cdot p_2(t) = B \cdot p_1(t)$$

VIKTIG!

- Merk at dette er en generell løsning som gir minst feil.
- Det er ingen restriksjoner mht. fordelingene p_1 og p_2 !

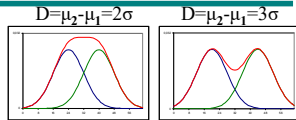
2020.02.19

INF 2310

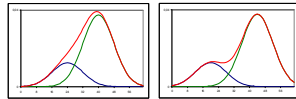
12

Studie av to Gauss-fordelinger

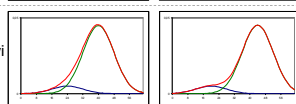
- To Gauss-fordelinger med samme standardavvik, σ .
- $D = \mu_2 - \mu_1$
- Like a priori sannsynligheter.
- D avgjør om vi ser to toppler.



- Ulike a priori sannsynlighet.
- D avgjør om vi ser to toppler.



- Veldig ulike sannsynligheter.
- Selv ved stor verdi for D ser vi ikke to toppler.



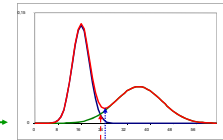
2020.02.19

INF 2310

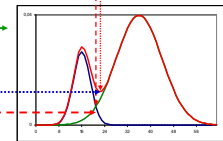
13

To Gauss-fordelinger II

- Et eksempel:
- To Gauss-fordelinger
 - bakgrunn : $\mu_1 = 16, \sigma_1 = 3$
 - forgrunn : $\mu_2 = 36, \sigma_2 = 8$



- Normaliserte histogrammer:



- Skalerer med a priori sannsynligheter, f.eks. $P_1 = 0.2, P_2 = 1 - P_1 = 0.8$

- Dette kan forskyve både

- minimum i bildets histogram
- skjæringspunktet mellom fordelingene

2020.02.19

INF 2310

14

Tersking av to Gauss-fordelinger

- Anta at bakgrunns- og forgrunns-intensitetene følger hver sin Gauss-fordeling, $b(z)$ og $f(z)$, slik at det normaliserte histogrammet kan skrives som

$$p(z) = \frac{B}{\sigma_B \sqrt{2\pi}} e^{-\frac{(z-\mu_B)^2}{2\sigma_B^2}} + \frac{F}{\sigma_F \sqrt{2\pi}} e^{-\frac{(z-\mu_F)^2}{2\sigma_F^2}}$$

- F og B er a priori sannsynligheter for for- og bakgrunn
- μ_B og μ_F er middelverdiene for bakgrunn og forgrunn.
- σ_B^2 og σ_F^2 er variansen for bakgrunn og forgrunn.

2020.02.19

INF 2310

15

Optimal løsning – to Gauss-fordelinger

- Vi vet at optimal løsning ligger der hvor $F \cdot f(T) = B \cdot b(T)$

- Vi setter inn for $b(z)$ og $f(z)$: $\frac{F}{\sigma_F \sqrt{2\pi}} e^{-\frac{(T-\mu_F)^2}{2\sigma_F^2}} = \frac{B}{\sigma_B \sqrt{2\pi}} e^{-\frac{(T-\mu_B)^2}{2\sigma_B^2}}$

- Vi kan stryke $\sqrt{2\pi}$ og ta logaritmen:

$$\frac{(T-\mu_F)^2}{2\sigma_F^2} - \ln\left(\frac{F}{\sigma_F}\right) = \frac{(T-\mu_B)^2}{2\sigma_B^2} - \ln\left(\frac{B}{\sigma_B}\right)$$

- Dette gir en annengrads-ligning i T:

$$(\sigma_B^2 - \sigma_F^2)T^2 + 2(\mu_B\sigma_F^2 - \mu_F\sigma_B^2)T + \sigma_B^2\mu_F^2 - \sigma_F^2\mu_B^2 + 2\sigma_B^2\sigma_F^2 \ln\left(\frac{B\sigma_F}{F\sigma_B}\right) = 0$$

- Vi kan altså få to løsninger for T.

2020.02.19

INF 2310

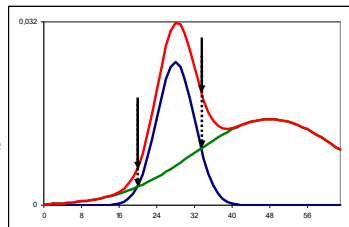
16

To terskler – når kan det skje?

- Hvis standardavvikene i de to Gauss-fordelingene er forskjellige – og skjæringspunktene mellom fordelingene (skalert med a priori sannsynlighet) ligger innenfor gråtoneskalaen i bildet

- En terskelverdi for hvert skjæringspunkt.

- Det er bare mellom de to tersklene at flertallet av pikslene er bakgrunnpikslers!



2020.02.19

INF 2310

17

Hvor ligger optimal terskel?

- Vi har en annengrads-ligning i T:

$$(\sigma_B^2 - \sigma_F^2)T^2 + 2(\mu_B\sigma_F^2 - \mu_F\sigma_B^2)T + \sigma_B^2\mu_F^2 - \sigma_F^2\mu_B^2 + 2\sigma_B^2\sigma_F^2 \ln\left(\frac{B\sigma_F}{F\sigma_B}\right) = 0$$

- Hvis standard-avvikene i de to fordelingene er like ($\sigma_B = \sigma_F = \sigma > 0$) får vi en enklere ligning:

$$2(\mu_B - \mu_F)T - (\mu_B + \mu_F)(\mu_B - \mu_F) + 2\sigma^2 \ln\left(\frac{B}{F}\right) = 0$$

$$T = \frac{(\mu_B + \mu_F)}{2} + \frac{\sigma^2}{(\mu_B - \mu_F)} \ln\left(\frac{F}{B}\right)$$

- Hvis a priori sannsynlighetene F og B er omtrent like har vi en veldig enkel løsning:

$$T = \frac{(\mu_B + \mu_F)}{2}$$

(Jfr Riddler & Calvards metode)

2020.02.19

INF 2310

18

Ridler og Calvards metode: Iterativ tilpasning av likeformedede Gauss

- Anta to Gauss-fordelinger med forventninger μ_1 og μ_2 , og med $\sigma_1 \approx \sigma_2$, og anta $F \approx B$
 - 1) Vi kjenner ikke den sanne μ_1 og μ_2 så vi starter med å gjette på en løsning
 - 2) Beregner så en terskel ved $T = (\mu_1 + \mu_2) / 2$
 - 3) Basert på denne terskelen, finner vi ny μ_1 og μ_2 som henholdsvis middelveidene til pikslene under og over terskelen
- Dess mindre modellen passer med dataene, dess mer vil μ_1 og μ_2 endre seg
- Gjenta derfor 2) og 3) til den nye terskelen ikke endrer verdi (T konvergerer)
 - Dette er en enkel og rask måte å finne parametrene μ_1 og μ_2 som gir fordelinger som tilnærmet best "passer" histogrammet vårt, jfr. lysark 9
 - Husk at vi antar $\sigma_1 \approx \sigma_2$ og $F \approx B$
 - Algoritmen beskrives i DIP s. (746) (også kjente under navnet *k-means*)

2020.02.19

INF 2310

19

Otsus metode: Likeformet Gausstilpasning direkte søk

- **Bakgrunnstankegang:** Anta at bildet inneholder to populasjoner av piksler, slik at pikslene innenfor hver populasjon er noenlunde like, mens populasjonene er forskjellige.

• Målsetting:

Let igjennom alle gråtonene, og finn en terskel T slik at hver av de to klassene som oppstår ved tersklingen blir mest mulig homogene, mens de to klassene bli mest mulig forskjellige.

- Klassene er homogene: **variansen i hver av de to klassene er minst mulig.**
- Separasjonen mellom klassene er stor: **avstanden mellom middelveidene er størst mulig.**

2020.02.19

INF 2310

20

Otsus metode – I/II

- For en gitt terskel t , la $\sigma_1^2(t)$ og $\sigma_2^2(t)$ være variansen til pikslene i henholdsvis bakgrunn og forgrunn, og $\sigma_B^2(t)$ være (den vektete) variansen til middelveidene:

$$\sigma_1^2(t) = \sum_{i=0}^t [i - \mu_1(t)]^2 p(i) / P_1(t)$$

$$\sigma_2^2(t) = \sum_{i=t+1}^{G-1} [i - \mu_2(t)]^2 p(i) / P_2(t)$$

$$\sigma_B^2(t) = P_1(\mu_1 - \mu)^2 + P_2(\mu_2 - \mu)^2$$

- der P_1 og P_2 er sannsynligheten for bakgrunn og forgrunn ($P_1 =$ antall bakgrunnpiksler/totalt antall piksler i bildet, $P_2 = 1 - P_1$), og μ er (den totale) middelveidene i bildet
- Otsu foreslår at vi velger t som minimerer $\sigma_w^2(t) = P_1\sigma_1^2(t) + P_2\sigma_2^2(t)$

2020.02.19

INF 2310

21

Otsus metode – II/II

- $\sigma_w^2(t) + \sigma_B^2(t) = \sigma_{\text{tot}}^2$ og er uavhengig av t (altså konstant)
- Å minimere $\sigma_w^2(t)$ er altså det samme som å maksimere $\sigma_B^2(t)$
- Vi kan altså likeså godt maksimere $\sigma_B^2(t)$ (Ved å prøve alle terskler t)
- Divideres $\sigma_B^2(t)$ med totale variansen får vi et kvantitativt mål på separabilitet:

$$\eta(t) = \frac{\sigma_B^2(t)}{\sigma_{\text{tot}}^2}, \quad 0 \leq \eta(t) \leq 1$$

2020.02.19

INF 2310

22

Otsus metode; i praksis

- Gitt et $N \times M$ piksler's bilde med G gråtoner.
- Finn bildets histogram, $h(k)$, $k = 0, 1, 2, \dots, G-1$.
- Finn bildets normaliserte histogram:

$$p(k) = \frac{h(k)}{MN}, \quad k = 0, 1, 2, \dots, G-1$$

- Beregn kumulativt normalisert histogram:

$$P_1(k) = \sum_{i=0}^k p(i), \quad k = 0, 1, 2, \dots, G-1$$

- Beregn kumulativ middelveidi, $\mu(k)$:

$$\mu(k) = \sum_{i=0}^k ip(i), \quad k = 0, 1, 2, \dots, G-1$$

- Beregn global middelveidi, μ :

$$\mu = \sum_{i=0}^{G-1} ip(i)$$

- Beregn variansen mellom klassene, $\sigma_B^2(k)$:

$$\sigma_B^2(t) = \frac{[\mu(t) - \mu P_1(t)]^2}{P_1(t)(1 - P_1(t))}$$

- Finn terskelen der $\sigma_B^2(k)$ har sitt maksimum.

- Beregn separabilitetsmålet, $\eta(t)$:

$$\eta(t) = \frac{\sigma_B^2(t)}{\sigma_{\text{tot}}^2}, \quad 0 \leq \eta(t) \leq 1$$

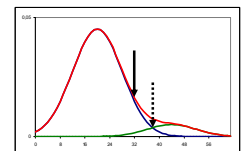
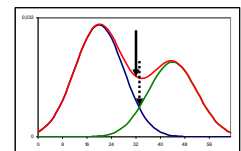
2020.02.19

INF 2310

23

Hvis vi nå bare antar at $P_1 = P_2 \dots$

- Et lite eksempel:
- For $\mu_1 = 20$ og $\mu_2 = 44$, med $\sigma_1 = \sigma_2 = 8$, så vil $T = (\mu_1 + \mu_2) / 2 = 32$ være en OK terskel, selv om $P_1 = 0.6 \neq P_2$.
- For $P_1 = 0.9 \neq P_2$ vil feilen bli ganske stor.



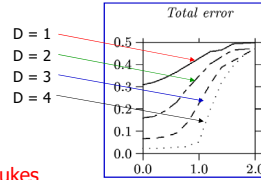
2020.02.19

INF 2310

24

Effekten av *a priori* sannsynlighet

- Total tersklingsfeil mot $\log_{10}(P_1/P_2)$ for fire verdier av $\mu_2 - \mu_1 = D\sigma$:



- Feilen øker raskt ved $\log_{10}(P_1/P_2) \approx 1$
- => Otsus metode bør bare brukes når $0.1 < P_1/P_2 < 10$.
- Det samme gjelder for Ridler & Calvard.

2020.02.19

INF 2310

25

Bruk av kant-informasjon

- Hvordan kan vi unngå problemene som følger av at objekt og bakgrunn har ulik *a priori* sannsynlighet?
 - Bruk bare piksler som ligger på eller nær overgangen mellom objekt og bakgrunn.
 - Forholdet mellom a priori sannsynligheter blir da ≈ 1 .
- Hvordan gjør vi det?
 - Bruk en gradient-estimator, og terskle resultatet.
 - Bruk en Laplace-operator (nullgjennomgang), og utvid resultatet.
- Dette er egentlig en sirkelslutning:
 - For å forbedre tersklingen av objektet trenger vi objektets omriss.
 - For å avgrense omrisset trenger vi en terskling.

2020.02.19

INF 2310

26

Eksempel I

- Gitt et bilde $f(x,y)$ der objekt-arealet er relativt lite.
- Beregn et kantbilde
 - Enten gradient-magnitudo eller absoluttverdi av Laplace.
- Terskle kantbildet med en høy terskel.
 - > "maske-bilde" $G_T(x,y)$
- Finn histogram av $f(x,y) \cdot G_T(x,y)$
- Finn optimal terskel med f.eks. Otsu.
- Anvend på $f(x,y)$.
- Nær perfekt resultat.

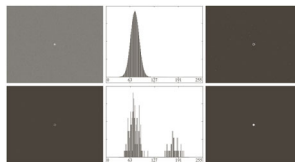


FIGURE 10.42 (a) Noisy image from Fig. 10.41(a) and (b) its histogram. (c) Gradient magnitude image thresholded at the 90.7 percentile. (d) Image formed as the product of (a) and (c). (e) Histogram of the nonzero pixels in the image in (d). (f) Result of segmenting image (a) with the Otsu threshold based on the histogram in (e). The threshold was 134, which is approximately midway between the peaks in this histogram.

2020.02.19

INF 2310

27

Eksempel II

- Vi ønsker å finne de lyse strukturene i $f(x,y)$.
- Vanskelig histogram:
 - Otsu -> "feil" terskelverdi
- Beregn $\text{abs}(\text{Laplace})$
- Terskle (høy percentil)
 - > "maske-bilde" $G_T(x,y)$
- Finn histogram av $f(x,y) \cdot G_T(x,y)$.
- Finn optimal terskel med f.eks. Otsu.
- Anvend på $f(x,y)$.

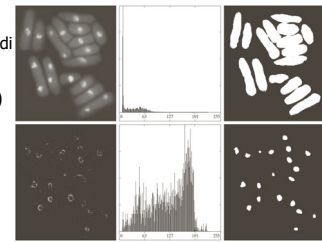


FIGURE 10.43 (a) Image of yeast cells. (b) Histogram of (a). (c) Segmentation of (a) with Otsu's method using the histogram in (b). (d) Thresholded gradient magnitude. (e) Histogram of the nonzero pixels in the product of (a) and (d). (f) Original image thresholded using Otsu's method based on the histogram in (e). (Original image courtesy of Professor Susan L. Forthberg, University of Southern California.)

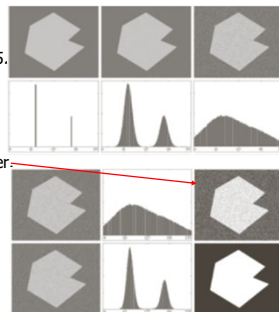
2020.02.19

INF 2310

28

Effekten av støy i bildet

- Gitt to-nivå gråtonebilde
 - $G=256$.
 - A priori sannsynligheter ≈ 0.5 .
- Støy
 - => Mister bimodalitet.
- Global terskling
 - => Mange feilklassifiserte piksler.
- Støyfjerning + terskling:
 - + Bimodalt histogram
 - => bedre terskling
 - Blurring av bildet
 - => feil langs objekt-kanten.



2020.02.19

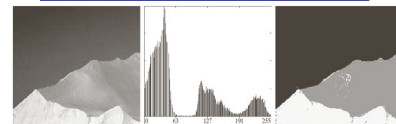
INF 2310

29

Flernivå-terskling

- Har vi flere klasser av objekter med forskjellig intensitet, så kan vi utvide dette til M gråtone-intervaller ved hjelp av $M-1$ terskler.

$$g(x,y) = \begin{cases} 0 & \text{hvis } 0 \leq f(x,y) \leq t_1 \\ 1 & \text{hvis } t_1 \leq f(x,y) \leq t_2 \\ \dots & \dots \\ M-1 & \text{hvis } t_{M-1} \leq f(x,y) \leq G-1 \end{cases}$$



2020.02.19

INF 2310

30

Flernivå Ridler & Calvards metode

- Ridler & Calvards metode kan generaliseres til M terskler:

$$t_{1,k+1} = \frac{\mu(0, t_{1,k}) + \mu(t_{1,k} + 1, t_{2,k})}{2}$$

$$\vdots$$

$$t_{M,k+1} = \frac{\mu(t_{M-1,k}, t_{M,k}) + \mu(t_{M,k} + 1, G - 1)}{2}$$

- Nytt sett terskelverdier beregnes til alle terskler er stabile
 - dvs til alle differansene $|t_{n,k} - t_{n,k-1}|$, $1 \leq n \leq M$, er mindre enn ΔT .
- Prosedyren konvergerer vanligvis raskt.

2020.02.19

INF 2310

31

Flernivå Otsu-terskling

- Maksimeringskriteriet til Otsu, σ_B^2 , kan generaliseres til M klasser (altså M-1 terskler):

$$\sigma_B^2(t_1, t_2, \dots, t_{M-1}) = \sum_{k=1}^M P_k (\mu_k - \mu)^2$$

- Finn de M-1 tersklene $t_1 > t_2 > \dots > t_{M-1}$ som maksimerer uttrykket over

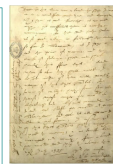
2020.02.19

INF 2310

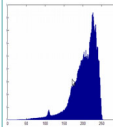
32

Global, variabel eller adaptiv?

- Global terskling :
 - Samme verdi for T over hele bildet.
- Variabel terskling:
 - Verdien av T varierer over bildet.
- Lokalt adaptiv terskling:
 - T beregnes fra bildets lokale egenskaper (μ , σ , ...)



Ved Otsus metode:

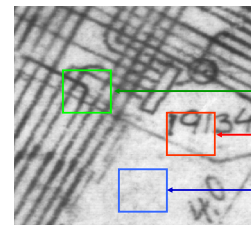


2020.02.19

INF 2310

33

Eksempel – bimodalitet i lokale vinduer



Bimodal, ca 1:1

Bimodal, skjevt forhold

Unimodal

2020.02.19

INF 2310

34

Adaptiv terskling ved interpolasjon

- Globale terskler gir ofte dårlig resultat.
- Globale metoder kan benyttes lokalt.
- Dette virker ikke der vinduet bare inneholder en klasse!
- Mulig oppskrift:
 - NIVÅ I:** Del opp bildet i del-bilder
 - For del-bilder med bi-modalt histogram, eller som for eksempel har godt Otsu-separasjonsmål:
 - Finn lokal terskelverdi $T_{\text{lokal}}(i,j)$
 - NIVÅ II:** Pikkel-for-pikkel interpolasjon:
 - Gå gjennom alle piksel-posisjoner
 - bestem adaptiv terskelverdi $T(x,y)$ ved interpolasjon mellom de lokale terskelverdiene $T_{\text{lokal}}(i,j)$.
 - Terskle så hvert piksel (x,y) i bildet i terskelverdiene $T(x,y)$.

2020.02.19

INF 2310

35

En enklere adaptiv metode

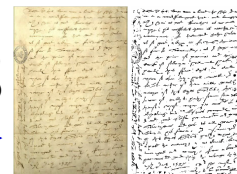
- En metode som benytter det dere lærte i forelesningen om gråtonetransformer
- Beregn middelvei og standardavvik innenfor et glidende $(n \times n)$ vindu over hele bildet.
- Nieblacks metode:** Sett den lokale terskelverdien til

$$t(i, j) = \mu(i, j) + k \sigma(i, j)$$

- La ut-bildet være gitt ved

$$g(i, j) = \begin{cases} 0 & \text{hvis } f(i, j) \leq t(i, j) \\ 1 & \text{hvis } f(i, j) > t(i, j) \end{cases}$$

- Ex.: for $w = 31$, $k = -0.8$:



2020.02.19

INF 2310

36

Oppsummering terskling

- Generelle histogramfordelinger og klassifikasjonsfeil
 - Har vi h_1 og h_2 har vi alt: forgrunn der $h_2(i) > (h_1)$
altså der $F^*p_2(i) > B^*p_1(i)$
 - Terskling og (lokale) klassifikasjonsfeilminima der $h_1(i)=h_2(i)$
- To vanlige globale tersklingsalgoritmer:
 - Begge antar og tilpasser likeformede «Gausser»
 - Ridler og Calvards metode (iterativ, gjentatt klassifikasjon til stabile μ_1 og μ_2)
 - Otsus metode (prøv alle terskler, søk maksimal separasjon)
- Ulik apriori sannsynlighet og bruken av kantinformasjon
- Effektene av "støy" og bruken av lavpassfilter
- Flernivå-terskling
- Lokale adaptive metoder
 - Håndtere mangel på lokal bimodalitet